



## اثر استخلاف $\text{CF}_3$ در موقعیت $\beta$ بر قدرت پیوند هیدروژنی درون مولکولی (DFT) - دی‌کتون‌ها به کمک نظریه تابعی چگال

عبدالرضا نکوئی<sup>۱\*</sup>، محمد وکیلی<sup>۲</sup>

<sup>۱</sup> شیراز، دانشگاه صنعتی شیراز، دانشکده علوم پایه، گروه شیمی، ایران

<sup>۲</sup> مشهد، دانشگاه فردوسی مشهد، گروه شیمی، ایران

تاریخ ثبت اولیه: ۱۳۹۰/۳/۲۷، تاریخ دریافت نسخه اصلاح شده: ۱۳۹۰/۵/۲۰، تاریخ پذیرش قطعی: ۱۳۹۰/۶/۳

### چکیده

تجزیه و تحلیل صور تبدیل‌های سیس-انول مولکول‌های استیل استون، بنزوئیل استن، تری فلوئورو بنزوئیل استن، ۵ و ۵-دی‌متیل‌هگزان-۲ و ۴-دی‌آن و ۱۱-تری فلوئورو ۵ و ۵-دی‌متیل هگزان-۲ و ۴-دی‌آن با محاسبات نظریه تابعی چگالی در سطح محاسباتی-6/B3LYP/311++G\*\* به طور کامل انجام پذیرفته است. نتایج برای ترکیبات مذکور با مولکول‌های تری فلوئورو استیل استن و هگزا فلوئورو استیل استن مقایسه شده‌اند. مطابق این محاسبات اختلاف انرژی بین بعضی از صور تبدیل‌های پایدار کم بوده و بنابراین احتمال حضور همزمان بعضی از آنها همراه با یکدیگر در ترکیب وجود دارد. مقایسه‌ی بین ساختار مولکولی ترکیبات مورد مطالعه نشان دهنده آن است که جایگزینی گروه‌های متیل استیل استون با  $\text{CF}_3$ ، باعث کاهش قدرت پیوند هیدروژنی درون مولکولی می‌گردد. نتایج به دست آمده در مقایسه با نتایج طیف بینی  $^1\text{H-NMR}$  تائید می‌شود. تأثیرات دیگر این جایگزینی بر عدم استقرار الکترونی و ساختار مولکولی نیز مورد بررسی قرار گرفته‌اند.

واژه‌های کلیدی:  $\beta$ -دی‌کتون، پیوند هیدروژنی درون مولکولی، نظریه تابعی چگالی، اثر استخلاف  $\text{CF}_3$ .

\*عهدہ دار مکاتبات: عبدالرضا نکوئی

نشانی: شیراز، دانشگاه صنعتی شیراز، دانشکده علوم پایه، بخش شیمی

تلفن: ۰۷۱۱۷۳۵۴۵۰-۰۷. پست الکترونیکی: E-Mail: nekoei@sutech.ac.ir

استن (BA) و ترکیب ۱۰۱-۱-تری فلوئورو-۵-دی متیل هگزان-۲-۴-دی آن (TFMHD) با ۵-دی متیل هگزان-۲-۴-دی آن (DMHD) صورت گرفته است. نتایج این مقایسه ها نشان دهنده اثر جایگزینی گروههای متیل با  $\text{CF}_3$  است.

## ۲. روش محاسبات

تمامی محاسبات مکانیک کوانتومی با استفاده از نرم افزار گویند [۳] انجام پذیرفته است. نظریه به کار گرفته شده برای انجام مطالعات، نظریه تابعی چگال (DFT) است. برای بهینه سازی ساختار صورت گرفته ای پایدار انولی، از میان سطوح مختلف DFT، سطح B3LYP [۴] انتخاب و تابع پایه  $\text{G}^{**}-\text{311}++\text{G}^{**}$ -۶ به کار گرفته شده است.

## ۳. نتایج و تجزیه و تحلیل داده ها

دو ایزومر متفاوت مربوط به شکلهای سیس- انول در ترکیب های  $\beta$ -دی کتون نا متفارن که توسط پیوند هیدروژنی درون مولکولی پایدار می گردد در شکل ۱ نشان داده شده اند. همان طور که ملاحظه می شود، بین این دو ایزومر، پروتون انولی از یک اتم اکسیژن به اتم اکسیژن دیگر منتقل می گردد. پایدارترین صورت گرفته ای سیس- انول مولکولهای AA، TFAA، HFAA، TFBA، BA، DMHD و TFMHD به همراه انرژی های نسبی محاسبه شده در سطح B3LYP/6-311++G<sup>\*\*</sup> بر حسب کیلو کالری بر مول در شکل ۲ نشان داده شده اند. طبق نامگذاری، برای مولکولهای دارای گروه  $\text{CF}_3$ ، کتابت این گروه در صورت گرفته ای  $\beta$ -نزوئیل به گروه کربونیل و در صورت گرفته ای  $\alpha$ -نزوئیل به گروه هیدرو کسیل در نظر گرفته شده است. همانطور که در این شکل دیده می شود، اختلاف انرژی بین صورت گرفته ای پایدار سیس- انول نسبت به پایدارترین صورت گرفته ای کوچک است. چنین اختلاف کمی بین انرژی صورت گرفته ای های پایدار سیس- انول، حداقل در فاز ترکیبات فوق صورت گرفته ای های پایدار سیس- انول، حداقل در فاز گازی، به طور همزمان وجود دارند [۱۱-۶].

محاسبات بهینه سازی هندسه مولکولی در سطح محاسباتی B3LYP/6-311++G<sup>\*\*</sup>، به طور کامل برای تمامی صورت گرفته ای های انولی پایدار مولکولهای مورد بررسی انجام شده است. پارامترهای

## ۱. مقدمه

پیوند هیدروژنی درون مولکولی یک اندرکنش اختصاصی بین گروههای دهنده پروتون (A) و گیرنده پروتون (B) است که هر دو به یک مولکول تعلق دارند. پیوند هیدروژنی درون مولکولی در بسیاری از مولکولهای آلی و بیولوکولهای نظری قندها، هورمون ها، آنزیم ها و پروتئین ها وجود دارد و فعالیت بسیاری از این مولکولها تحت تاثیر پیوند هیدروژنی قرار دارد. همچنین این پیوند پیکربندی بسیاری از مولکولها را معین می کند و به خاطر وجود همین پیوند است که پروتئین ها دارای شکل خاصی هستند. یک پارامتر بسیار مهم در تقسیم بندی سیسته های دارای پیوند هیدروژنی، قدرت این پیوند است. این قدرت از نظر ساختاری توسط پارامترهایی از قبیل فاصله بین دو اتم الکترونگاتیو (B...A)، طول AHB پیوند هیدروژنی (B...H)، طول پیوند (A-H) و زاویه پیوند مشخص می گردد [۲-۱]. چنین پارامترهایی را می توان توسط روش های نظری کوانتمی و تجربی پراش و طیف سنجی به دست آورد. در یک  $\beta$ -دی کتون تعادل بین دو شکل کتو و انول، تاتومری، با انتقال پروتون همراه است. ایزومرهای انول توسط پیوند هیدروژنی درون مولکولی پایدار می شوند. تعادل انول-کتو و قدرت پیوند هیدروژنی تحت تاثیر شرایط محیطی (نظری دما، حلال، و غلظت) و پارامترهای موثر بر خواص الکترونی حلقه کی لیتی (حلقه شش تایی شامل گروه های هیدروکسیل، کربونیل و آلتی) که ناشی از خصوصیات الکترون دهنده کی و الکترون کشنده کی استخلاف های مختلف است، قرار می گیرد. تشکیل پیوند هیدروژنی می تواند سبب افزایش رزونانس الکترون های  $\pi$  سیستم مزدوج شده و لذا تمایلی برای یکسان شدن مرتبه پیوندی در پیوندهای والانس حلقه کی لیتی شش عضوی ایجاد خواهد شد. بنابراین، به نظر می رسد که هر پارامتری که در چگالی الکترونی حلقه کی لیتی دخیل باشد می تواند بر پیوند هیدروژنی تاثیر گذاشته و قدرت آن را تغییر دهد. هدف این مقاله، بررسی تاثیر استخلاف گروه  $\text{CF}_3$  در موقعیت  $\beta$ -نزوئیل پیوند هیدروژنی درون مولکولی  $\beta$ -دی کتون ها به کمک نظریه تابعی چگالی (DFT) است. برای این منظور مقایسه هایی بین ساختار مولکولی ترکیبات تری فلوئورو استیل استن (TFAA) و هگزا فلوئورو استیل استن (HFAA) (با استیل استون (AA)، و همچنین ترکیب تری فلوئورو بنزوئیل استن (TFBA) با بنزوئیل

وضوح نتیجه گرفت که ترتیب قدرت پیوند هیدروژنی در ترکیبات مورد بررسی عبارت است از:



مشاهدات تجربی جایه جایی شیمیایی پروتون انولی در طیف بینی NMR در حلال  $\text{CCl}_4$  برای مولکولهای BA، DMHD، AA، TFAA، TFMHD، TFBA، HFAA، حسب ppm به ترتیب برابر با  $16/2$ ،  $15/9$ ،  $15/4$ ،  $15/6$ ،  $15/0/0$ ،  $14/2$ ،  $13/0/0$  و  $11/6$ . ترتیب نتیجه گیری شده بالا برای قدرت پیوند هیدروژنی با نتایج تجربی  $^1\text{H-NMR}$  در توافق بسیار عالی است. همچنین، با توجه به این ترتیب نتیجه گیری می‌شود که گروه  $\text{CF}_3$  به علت اثر الکترون‌کشندگی روی الکترونها  $\pi$  حلقه کیلیتی باعث کاهش قدرت پیوند هیدروژنی درون مولکولی در بتا-دی‌کتون‌ها می‌شود.

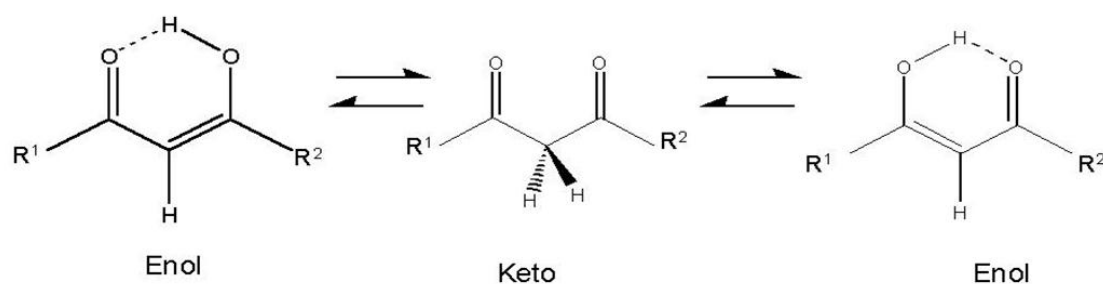
همچنین طبق داده‌های جدول ۱، در صورتیندی‌های ۴ مولکولی‌های TFAA، TFAA، TFMHD و TFBA، طول  $\text{O}\cdots\text{O}$  و  $\text{H}\cdots\text{O}$  کوتاهتر از همین طولها در صورتیندی‌های ۲ است. زیرا در صورتیندی‌های ۴ که گروه  $\text{CF}_3$  در مجاورت گروه C-OH است، الکترون کشندگی  $\text{CF}_3$  باعث افزایش بار مثبت اتم O هیدروکسیل (دهنده پروتون) و در نتیجه افزایش قدرت اسیدی گروه OH شده که در نهایت منجر به افزایش قدرت پیوند هیدروژنی درون مولکولی می‌گردد. اما در صورتیندی‌های ۲ گروه  $\text{CF}_3$  در مجاورت گروه کربونیل است و کشنندگی الکترون باعث افزایش بار مثبت اتم کربونیل است. این مهاجرت در جهت عکس است. تغییرات اکسیژن کربونیل (گیرنده پروتون) و در نتیجه کاهش قدرت پیوند هیدروژنی درون مولکولی است.

ساختاری اصلی حلقه انولی در صورتیندی‌های پایدارتر کیات فوق در جدول ۱ آورده شده‌اند. پارامترهای ساختاری AA، BA و DMHD نیز که دارای گروه  $\text{CF}_3$  نیستند، جهت مقایسه کامل تر در این جدول ارائه شده‌اند.

داده‌های جدول ۱ نشان می‌دهند که به دلیل اثر الکترون کشنندگی اتم‌های F در استخلاف  $\text{CF}_3$ ، طول پیوند  $\text{C}-\text{CF}_3$  در مقایسه با  $\text{C}-\text{CH}_3$  افزایش یافته است. این اثر الکترون کشنندگی باعث مثبت تر شدن بار اتم کربن گروه  $\text{CF}_3$  نسبت به گروه  $\text{CH}_3$  می‌شود و در نتیجه آن، جاذبه  $\text{C}-\text{CH}_3$  در  $\text{C}^{+\delta}-\text{C}^{-\delta}$  به دافعه  $\text{C}-\text{CF}_3$  می‌شود و در نتیجه آن طول پیوند  $\text{C}-\text{CF}_3$  در هر دو ایزومر ۲ و ۴ نسبت به گروه‌های کربونیل و هیدروکسیل، از نظر موقعیت طبق محاسبات نظری، گروه  $\text{CF}_3$  در هر دو ایزومر ۲ و ۴ نسبت به گروه‌های کربونیل آشکار (staggered) است ولی گروه کانفورماتیونی، تنها به شکل آشکار (eclipsed) می‌باشد.

مقایسه نتایج محاسبات ساختار هندسی برای صورتیندی‌های ۲ و ۴ مولکول‌های TFAA، TFAA و TFMHD نشان می‌دهد که در صورتیندی‌های ۲، طول پیوند ساده  $\text{C}-\text{C}$  کوتاهتر و طول پیوند  $\text{C}=\text{C}$  بلندتر از صورتیندی‌های ۴ است زیرا در صورتیندی‌های ۲ به دلیل اثر الکترون کشنندگی گروه  $\text{CF}_3$ ، عدم استقرار و رزونانس الکترون‌های  $\pi$  از  $\text{C}=\text{C}$  به سمت  $\text{C}-\text{C}$  بوده در حالیکه در صورتیندی‌های ۴ این مهاجرت در جهت عکس است. تغییرات ذکر شده نشان دهنده تاثیر گروه  $\text{CF}_3$  بر عدم استقرار الکترون‌های  $\pi$  در حلقة انولی صورتیندی‌های ۲ و ۴ است. در مولکول‌های TFBA و BA رزونانس قوی دیگری بین الکترون‌های  $\pi$  حلقة فنیل با حلقة انولی وجود دارد که در مورد این مولکولها این نکته نیز باید در نظر گرفته شود [۱۲].

طول پیوند  $\text{O}-\text{H}$  و زاویه  $\text{OHO}$  و همچنین فواصل  $\text{O}\cdots\text{O}$  و  $\text{H}\cdots\text{O}$  از جمله پارامترهایی هستند که برای مقایسه قدرت پیوند هیدروژنی در  $\beta$ -دی‌کتونها به کار می‌روند. هر چه قدرت پیوند هیدروژنی یک ترکیب بیشتر شود فواصل  $\text{O}\cdots\text{O}$  و  $\text{O}\cdots\text{H}$  کوتاهتر اما طول پیوند  $\text{O}-\text{H}$  و زاویه  $\text{OHO}$  بیشتر می‌شوند. از بررسی و مقایسه میانگین این پارامترها در جدول ۱ می‌توان به



AA : R<sup>1</sup>=R<sup>2</sup>=Me

TFAA :  $R^1=CF_3$  and  $R^2=Me$

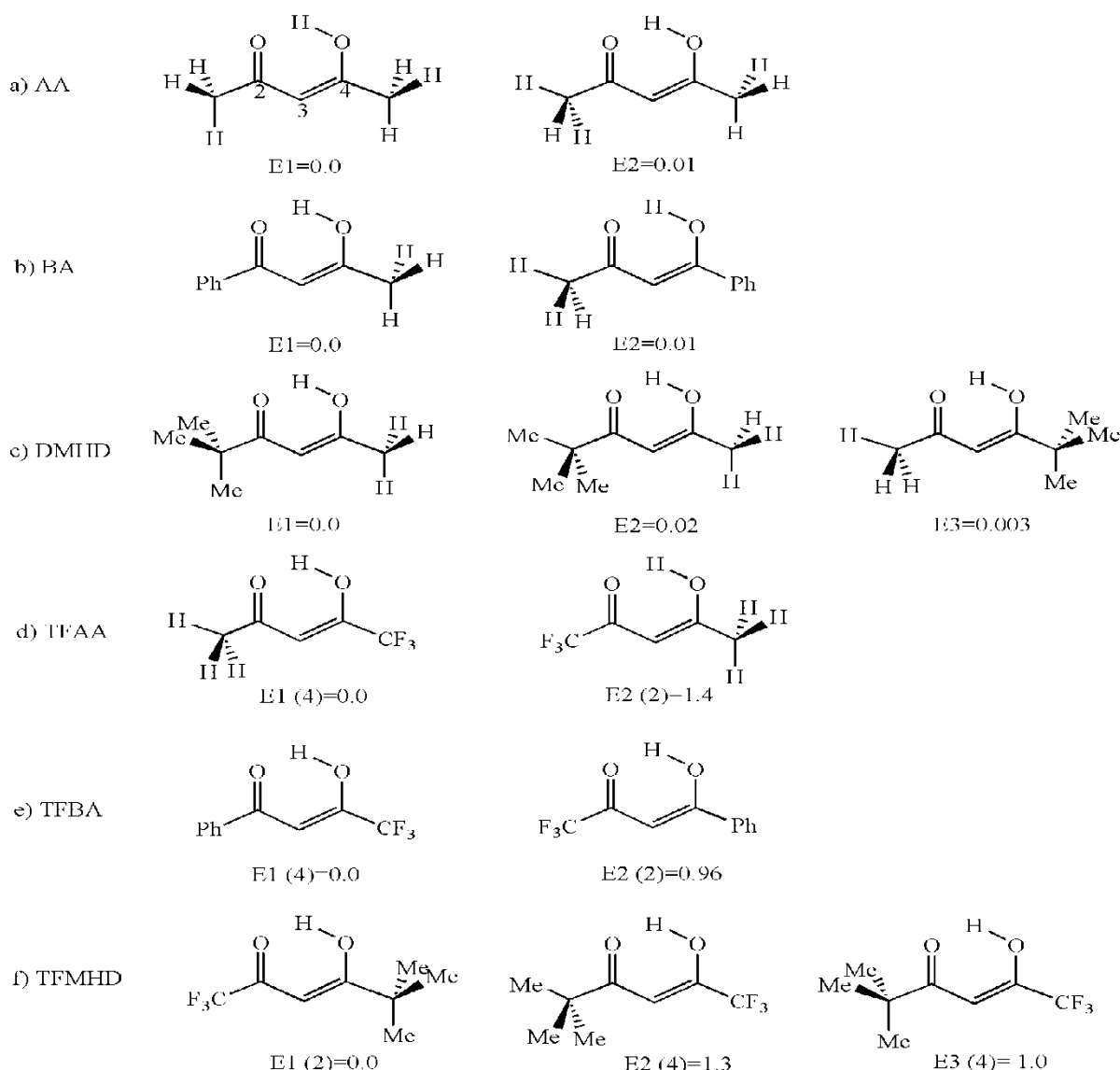
BA : R<sup>1</sup>=Me and R<sup>2</sup>=Ph

TFBA : R<sup>1</sup>=CF<sub>3</sub> and R<sup>2</sup>=Ph

DMHD : R<sup>1</sup>=t- But and R<sup>2</sup>=Me

TFMHD : R<sup>1</sup>=t- But and R<sup>2</sup>=CF<sub>3</sub>

شکل ۱- تاتومری کتو-انول در  $\beta$ -دی‌کتون‌ها.



شکل-۲- پایدار ترین صور تبدیلی های سیس انول ترکیبات AA و TFMHD و TFBA، DMDH، BA، TFAA و انرژی نسبی آنها بر حسب کیلو کالری بر مول محاسبه شده در سطح .B3LYP/6-311++G\*\*

جدول ۱- پارامترهای هندسی مولکول هایمورد بررسی (طولها، R، بر حسب انگستروم و زوایا، θ، بر حسب درجه) محاسبه شده در سطح محاسباتی B3LYP/6-311++G\*\*.

پارامتر	AA		TFAA <sup>a</sup>		HFAA <sup>b</sup>	BA		TFBA		DMHD			TFMHD				
	E1	E2	(2)	(4)		E1	E2	(2)	(4)	E1	E2	E3	میانگین	E1(2)	E2(4)	E3(4)	میانگین
RC-O	۱/۳۲۲	۱/۳۲۶	۱/۳۲۰	۱/۳۱۸	۱/۳۱۶	۱/۳۲۶	۱/۳۲۴	۱/۳۲۲	۱/۳۱۸	۱/۳۲۲	۱/۳۲۶	۱/۳۲۸	۱/۳۲۵	۱/۳۲۲	۱/۳۱۶	۱/۳۲۰	۱/۳۱۹
RC=O	۱/۲۴۸	۱/۲۴۶	۱/۲۳۷	۱/۲۴۰	۱/۲۲۷	۱/۲۵۰	۱/۲۵۲	۱/۲۴۰	۱/۲۴۷	۱/۲۵۰	۱/۲۴۶	۱/۲۴۶	۱/۲۴۷	۱/۲۳۸	۱/۲۴۴	۱/۲۴۱	۱/۲۴۱
RC-C	۱/۴۴۱	۱/۴۴۴	۱/۴۲۶	۱/۴۵۷	۱/۴۴۲	۱/۴۳۹	۱/۴۴۳	۱/۴۲۰	۱/۴۵۶	۱/۴۴۱	۱/۴۴۷	۱/۴۴۴	۱/۴۴۴	۱/۴۲۵	۱/۴۵۵	۱/۴۶۰	۱/۴۴۴
RC=C	۱/۳۷۳	۱/۳۷۰	۱/۳۷۸	۱/۳۶۷	۱/۳۶۱	۱/۳۷۸	۱/۳۷۲	۱/۳۸۶	۱/۳۵۸	۱/۳۷۴	۱/۳۷۰	۱/۳۷۲	۱/۳۷۲	۱/۳۸۰	۱/۳۶۰	۱/۳۵۷	۱/۳۷۲
RO-H	۱/۰۰۷	۱/۰۰۳	۰/۹۹۷	۱/۰۰۲	۰/۹۹۳	۱/۰۱۰	۱/۰۰۶	۱/۰۰۱	۱/۰۰۶	۱/۰۰۹	۱/۰۰۳	۱/۰۰۵	۱/۰۰۶	۰/۹۹۹	۱/۰۰۳	۱/۰۰۸	۱/۰۰۶
RO...H	۱/۶۱۱	۱/۶۳۳	۱/۶۷۲	۱/۶۵۴	۱/۷۲۴	۱/۵۸۵	۱/۶۰۴	۱/۶۳۰	۱/۶۲۱	۱/۵۹۱	۱/۶۲۳	۱/۶۱۱	۱/۶۰۸	۱/۶۴۹	۱/۶۴۰	۱/۶۰۷	۱/۶۳۲
RO...O	۲/۵۲۹	۲/۵۴۴	۲/۵۶۶	۲/۵۵۰	۲/۵۹۲	۲/۵۱۳	۲/۵۲۰	۲/۵۴۰	۲/۵۲۵	۲/۵۱۲	۲/۵۳۴	۲/۵۲۹	۲/۵۲۵	۲/۵۵۲	۲/۵۱۶	۲/۵۳۸	۲/۵۳۵
RC-Me <sup>c</sup>	(۱/۴۹۴) ۱/۵۱۱	(۱/۴۹۴) ۱/۵۱۱	۱/۴۹۲	۱/۵۰۶		۱/۵۱۱	۱/۴۹۶			۱/۴۹۵	۱/۵۴۰	۱/۵۱۲	۱/۵۱۶				
RC-CF <sub>3</sub> <sup>c</sup>			۱/۵۵۰	۱/۵۲۲	(۱/۵۲۵) ۱/۵۵۱			۱/۵۴۹	۱/۵۲۲					۱/۵۵۰	۱/۵۳۴	۱/۵۳۶	۱/۵۴۰
θ OHO	۱۴۹/۲	۱۴۸/۵	۱۴۶/۸	۱۴۶/۵	۱۴۳/۷	۱۵۰/۵	۱۴۸/۹	۱۴۸/۸	۱۴۷/۰	۱۴۹/۳	۱۴۸/۶	۱۴۹/۶	۱۴۹/۲	۱۴۸/۰	۱۴۶/۶	۱۴۷/۳	۱۴۷/۲

صورتندی های ۲ و ۴ در مولکولهای دارای گروه CF<sub>3</sub>، نتایج جالبی را در مورد اثر الکترون کشندگی این گروه بر ساختار و قدرت پیوند هیدروژنی درون مولکولی بتا-دی کتونها نشان می دهد.

a) اعداد از مرجع ۷ بدست آمده اند.

b) اعداد از مرجع ۸ بدست آمده اند.

c) عدد داخل پرانتز مربوط به گروه متشکل با CF<sub>3</sub> در مجاورت هیدروکسیل و عدد بعدی مربوط به گروه در مجاورت کربونیل می باشد.

#### ۴. نتیجه گیری

اختلاف کم انرژی های محاسباتی برای صورتندی های پایدارسیس- انولی مولکولهای AA، BA، DMHD، TFBA، TFAA و HFAA می تواند احتمال حضور همزمان آنها در نمونه ترکیبات مورد بررسی را تأیید نماید. بررسی ساختار هندسی صورتندی های مختلف نشان دهنده اثر الکترون کشندگی قابل ملاحظه ای گروه CF<sub>3</sub> بر روی ساختار، عدم استقرار الکترونی و پیوند هیدروژنی درون مولکولی آنها است. این اثر باعث کاهش قدرت پیوند هیدروژنی درون مولکولی بوده و نتایج تجربی حاصل از طیف بینی <sup>1</sup>H-NMR تأیید کننده ترتیب پیشنهاد شده برای قدرت پیوند هیدروژنی ترکیبات مورد بررسی است. همچنین مقایسه بین

#### ۵. مراجع

[1] L. Pauling, *The Nature of the Chemical Bond and the Structure of Molecules and Crystals*, 3rd Ed. Cornell University Press, Ithaca, NY (1960).

[2] J.C. Speakman, "The Hydrogen Bond and other Intermolecular Forces", Vol. 27 of Monographs for Teachers, The Chemical Society, London (1975).

[3] Gaussian 03, Revision B.05, M. J. Frisch, G. W. Trucks, H. B. Schlegel, G. E. Scuseria, M. A. Robb, J. R. Cheeseman, J. A. Montgomery, Jr., T. Vreven, K. N. Kudin, J. C. Burant, J. M. Millam, S. S. Iyengar, J. Tomasi, V. Barone, B. Mennucci, M. Cossi, G. Scalmani, N. Rega, G. A. Petersson, H. Nakatsuji, M. Hada, M. Ehara, K. Toyota, R. Fukuda, J. Hasegawa, M. Ishida, T. Nakajima, Y. Honda, O. Kitao, H. Nakai, M. Klene, X. Li, J. E. Knox, H. P. Hratchian, J. B. Cross, C. Adamo, J.

- [6] S.F. Tayyari, M. Vakili, A-R Nekoei, H. Rahemi, Y. A. Wang, *Spectrochim. Acta*, 66A(2007) 626.
- [7] M. Zahedi-Tabrizi, F. Tayyari, Z. Moosavi-Tekyeh, A. Jalali, S.F. Tayyari, *Spectrochim. Acta*, 65A(2006) 387.
- [8] S.F. Tayyari, F. Milani-Nejad, H. Rahemi, *Spectrochim. Acta*, 58A(2002) 1669.
- [9] M. Vakili, S.F. Tayyari, A.R. Nekoei, H. Miremad, S. Salemi, R.E. Sammelson, *J. Mol. Struct.*, 970 (2010) 160.
- [10] S.F. Tayyari, J.S. Emampour, M. Vakili, A.R. Nekoei, M. Hassanpour, *J. Mol. Struct.*, 794 (2006) 204.
- [11] M. Vakili, S.F. Tayyari, A. Kanaani, A-R.Nekoei, S. Salemi, H. Miremad, R. E. Sammelson, *J. Mol. Struct.*, 998 (2011) 99.
- [12] M. Vakili, A-R.Nekoei, F. MohammadiZono, *J. Quan. Chem. Spectrosc.*, 1 (2011) 27.
- Jaramillo, R. Gomperts, R. E. Stratmann, O. Yazyev, A. J. Austin, R. Cammi, C. Pomelli, J. W. Ochterski, P. Y. Ayala, K. Morokuma, G. A. Voth, P. Salvador, J. J. Dannenberg, V. G. Zakrzewski, S. Dapprich, A. D. Daniels, M. C. Strain, O. Farkas, D. K. Malick, A. D. Rabuck, K. Raghavachari, J. B. Foresman, J. V. Ortiz, Q. Cui, A. G. Baboul, S. Clifford, J. Cioslowski, B. B.Stefanov, G. Liu, A. Liashenko, P. Piskorz, I. Komaromi, R. L. Martin, D. J. Fox, T. Keith, M. A. Al-Laham, C. Y. Peng, A. Nanayakkara, M. Challacombe, P. M.W. Gill, B. Johnson, W. Chen, M.W. Wong, C. Gonzalez, and J.A. Pople, *Gaussian, Inc., Pittsburgh PA* (2003).
- [4] A.D. Becke, *J. Chem. Phys.* 98 (1993) 5648.
- [5] C. Lee, W. Yang, R.G. Parr, *Phys. Rev.*, B37 (1988) 785.